

ستز نانوکامپوزیت اکسید روی پوشش داده شده بر روی کائولین و تعیین کارآیی آن در حذف فتوکاتالیستی فسفات‌های آبی در حضور نور مرئی

شبتم هوشمندراد (MSC)^۱ - دکتر مهدی شیرزاد سبیلی (PhD)^۲ - دکتر آریتا محققان (PhD)^۳

*نویسنده مسئول: مرکز تحقیقات بهداشت و محیط زیست، دانشگاه علوم پزشکی گیلان، رشت، ایران

پست الکترونیک: mohagheghian@yahoo.com

تاریخ دریافت مقاله: ۹۶/۰۵/۰۳ تاریخ ارسال جهت اصلاح: ۹۶/۰۷/۰۲ تاریخ پذیرش: ۹۶/۰۸/۲۱

چکیده

مقدمه: مقدار فسفات در فاضلاب، دریاچه‌ها و دریاها به طور روزافزون در حال افزایش است. این ماده‌ی مغذی، ماکرومولکولی بایسته و به همان سان محدود کننده رشد جلبک‌ها و سیانو باکترها بوده و به همین جهت، عاملی عمدۀ در رخداد پدیده‌ی اتریفیکاسیون است.

هدف: ستز نانوکامپوزیت اکسید روی پوشش داده شده بر کائولین و تعیین کارآیی آن در حذف فتوکاتالیستی فسفات‌های آبی در حضور نور مرئی مواد و روش‌ها: نانوکامپوزیت اکسید روی کائولین به روش هم رسویی ستز شد. سپس، تأثیر متغیرهای مختلف مانند pH اولیه، مقدار اولیه ستز pH، غلظت اولیه فسفات، غلظت پراکسید هیدروژن، تأثیر گاز اکسیژن و نیتروژن و انواع ترکیبات آلی بر کارآیی حذف فسفات با استفاده از اکسیدروی کائولین/نور مرئی بررسی شد.

نتایج: آنالیزهای SEM و FT-IR، تثبیت دلخواه نانو ذرات اکسید روی بر سطح کائولین را نشان دادند. بیشترین کارآیی حذف فتوکاتالیستی در pH=۳ فسفات برابر با 20 mgL^{-1} و مقدار اولیه نانوکامپوزیت 5 gL^{-1} در مدت 120 min دقیقه دیده شد. با افزایش غلظت اولیه فسفات از 10 mgL^{-1} تا 100 mgL^{-1} ، ضریب سیستیکی درجه‌ی یک (k_{obs}) از 0.0021 min^{-1} به 0.0604 min^{-1} کاهش و مقدار انرژی مصروفی (E_{E0}) از $158/940 \text{ kWh.m}^{-3}$ به $428/428 \text{ kWh.m}^{-3}$ افزایش یافت. کارآیی فرآیند اکسید روی کائولین نور مرئی در حذف فسفات کمایش ۹۹٪ بود.

نتیجه‌گیری: فرآیند اکسید روی کائولین/نور مرئی به عنوان روشی مؤثر در حذف فسفات با کارآیی بالا در زمان کوتاه شمرده می‌شود.

کلیدواژه‌ها: ستز/ نانوکامپوزیت اکسید روی کائولین/ فسفات/ نور مرئی

مجله دانشگاه علوم پزشکی گیلان، دوره بیست و شش، شماره ۱۰۴، صفحات: ۶۱-۵۰

مقدمه

غلظت حدود $10-18 \text{ mgL}^{-1}$ است(۳). این ماده‌ی مغذی، ماکرومولکولی ضروری و به همان سان، محدود کننده رشد جلبک‌ها و سیانو باکترها محسوب می‌گردد، بنابراین، عامل عمدۀ در رخداد اتریفیکاسیون است(۲،۵). از زیان‌های اتریفیکاسیون می‌توان به مشکلات زیست محیطی، مانند مشکلات زیبایی شناختی، کاهش جمعیت جانداران دریایی، کاهش کیفیت آب، کاهش تنوع زیستی و افزایش آلودگی آب‌های راکد مانند خلیج و دریاچه‌ها اشاره کرد(۶-۴). افزون بر آن سموم محیطی مانند میکروسیستین در فرآیند اتریفیکاسیون، در بدن جانداران آبزی گرد آمده و به بدن انسان تراپرده شده و به کارسینوم هپاتوسلولار می‌انجامد(۴). به طور کلی غلظت فسفر بیش از $100 \text{ } \mu\text{gPL}^{-1}$ ، مواد مغذی کافی برای غنی‌سازی، جهت اتریفیکاسیون در دریاچه‌ها را فراهم می‌کند(۶). تکنولوژی‌های حذف فسفات از محیط‌های

حجم زیاد فاضلاب تولیدی انسان، نتیجه‌ی ناگزیر رشد جوامع کنونی است. فاضلاب معمولاً برای محیط زیست و انسان خطرناک است و باید پیش از تهی کردن به رودخانه، دریاچه و دریا به خوبی پالایش شود. فسفات و نیترات موجود در فاضلاب، آشکارا مسئول اتریفیکاسیون در منابع آبی جهان است، بنابراین تخلیه‌ی فاضلاب، تهدیدی جدی برای کاهش منابع آبی سطح زمین، بشمار می‌آید(۱). چون فسفر ماده‌ی پرنیروی باشته برای رشد موجودات زنده است، در کشاورزی و صنایع دیگر به کار برد می‌شود. افزون بر آن فسفات، از راه فرسایش سنگ‌ها، تجزیه‌ی مواد آلی و تخلیه‌ی فاضلاب‌ها، به محیط‌های آبی راه می‌یابد(۲-۴). مقدار فسفات در فاضلاب، دریاچه و دریاها، به طور روزافزون افزایش می‌یابد که دلیل آن استفاده از شوینده‌های حاوی فسفات است(۵). فاضلاب خانگی به طور معمول حاوی فسفات با

۱. گروه مهندسی بهداشت محیط، کمیته تحقیقات دانشجویی دانشکده بهداشت، دانشگاه علوم پزشکی گیلان، رشت، ایران

۲. مرکز تحقیقات بهداشت و محیط زیست، دانشگاه علوم پزشکی گیلان، رشت، ایران

۳. گروه مهندسی بهداشت محیط، دانشکده بهداشت، دانشگاه علوم پزشکی گیلان، رشت، ایران

افزایش دهد(۲۴، ۱۴ و ۲۳). کاتالیست‌های هتروژن ایده‌آل، پس از تغییر، به مواد ارزان و مناسب برای محدوده‌ی گستردگی از pH با فعالیت کاتالیستی و پایداری بالاتر، تبدیل می‌شوند. در حال حاضر مواد جامد تثبیت‌کننده شامل مواد آلی مثل رزین نافیون و مواد غیرآلی مثل زئولیت، کربن‌ها و خاک رس هستند. از این تثبیت‌کننده‌ها، خاک رس به طبعیت بودن، دسترسی آسان، قیمت کم و دوستدار محیط زیست شده است(۹). کائولین یکی از انواع خاک رس است که به مناسبتی مناسب برای پشتیبانی از کاتالیست‌ها گزارش شده است(۹). کائولین لاستیک‌سازی، پلاستیک‌سازی، ساختمان‌سازی، رنگ‌سازی، لاستیک‌سازی، پلاستیک‌سازی، ساختمان‌سازی، تولید سیمان و ... به کار می‌رود(۲۵ و ۲۶). کائولین ماده‌ی فراوانی است و ترکیب آلومنیوسیلیکات با ساختار کریستالی مت Shankل از Al_2O_3 و SiO_2 است که در فرآیند تصفیه‌ی آب از راه جذب و همچین پشتیبانی فرآیند کاتالیزوری با توجه به سطح و حجم بزرگ منافذ آن دخالت می‌کند(۲۷). مطالعاتی توسط جانی کوا و همکاران درباره‌ی آماده‌سازی کامپوزیت اکسید روی_کائولین در حذف اسید اورنج ۷ انجام شد و نتیجه استوانش نمود که کامپوزیت اکسید روی_کائولین فتوکاتالیستی مؤثر و کارآمد است(۲۸). همچنین، طی مطالعه شیرزاد سینی و همکاران در سال ۲۰۱۴، با عنوان حذف فتوکاتالیستی کروم شش ظرفیتی با استفاده از نانوکامپوزیت اکسید روی_کائولین دیده شد که با گذشت زمان، کارائی حذف کروم شش ظرفیتی به میزان چشمگیری افزایش می‌یابد(۲۷). داده‌های کمی درباره کارائی و سیستیک حذف فسفات با نانوکامپوزیت اکسید روی پوشش داده شده بر کائولین در دسترس است و بیشتر مطالعات، درباره حذف آلاینده‌های مختلف توسط اکسید روی بوده است که در این مطالعات، عموماً برای بالا بردن کارائی حذف اکسید روی، نسبت سطح به حجم آن را با کاهش اندازه‌ی ذرات در حد نانومتر، افزایش داده‌اند. این روش گرچه سبب بالا رفتن کارائی حذف آلاینده‌ها می‌شود، ولی در پایان جدا کردن این ذرات بسیار ریز از محلول، کار دشواری است. به همین دلیل تلاش زیادی برای یافتن نانوکامپوزیت کم‌هزینه با فعالیت

آبی در برگیرنده ترسیب شیمیایی، کریستالیزاسیون، جذب، فرآیند بیولوژی، جایگایی یون و برخی از روش‌های پیشرفت‌های مانند الکترودیالیز، الکتروکوآگولاسیون و اسمر وارون است. بیشتر این تکنولوژی‌ها به دلیل ناپایداری و هزینه‌ی بالا ناکارآمد هستند(۸، ۴ و ۳). به جهت چیرگی بر مشکل تصفیه‌های سنتی و به‌آین، تکنیک‌های اکسیداسیون شیمیایی مختلف مانند فرآیند اکسیداسیون پیشرفت‌های Advanced Oxidation Processes (AOP) به عنوان استراتژی نویدبخش، برای تصفیه‌ی آب، به ویژه برای آلاینده‌های ایستا و تجزیه نشدنی بیولوژی، پدید آمدند(۹). از انواع روش‌های اکسیداسیون پیشرفت، تصفیه با فتوکاتالیست‌ها، به دلیل توانایی حذف گستره‌ی فراخی از آلاینده‌های آلی و غیرآلی در دما و فشار محیط، بدون تولید مواد زیانبار و بهره‌برداری آسان مورد توجه قرار گرفته است(۱۰ و ۱۱). با پیشرفت گستره‌ی نانوکاتنولوژی و علوم نانو، ساختار اکسید روی (ZnO) به دلیل فعالیت فتوکاتالیستی بالا، پایداری شیمیایی، ظرفیت بالای اکسیدکنندگی، نرخ پایین، دسترسی آسان، غیرسمی بودن و سنتز آسان، به عنوان کاتالیستی خوب، توجه بسیاری را به خود واکشیده است(۱۲-۱۶). ولی اکسید روی با باند گپ انرژی بالای خود(3.2 eV) تنها نور در ناحیه‌ی فرابنفش با طول موج برابر یا کمتر از ۳۸۵ نانومتر را می‌تواند جذب کند(۱۵ و ۱۱ و ۲۰). فرآیندهای فتوکاتالیستی با نور مرئی جستار پرطریفاری است که دلیل آن هزینه‌ی کم استفاده از نور مرئی است. افزون بر آن استفاده مستقیم و پیاپی نور فرابنفش هراس انگیز بوده و کاربرد محدودی دارد(۲۱ و ۲۲). تلاش‌های جهانی برای استفاده از نور خورشید برای تولید انرژی، نگهداری محیط زیست و تصفیه‌ی آب در حال انجام است. نور خورشید کمایش از ۵-۷٪ نور فرابنفش و ۴۶٪ نور مرئی تشکیل شده است(۲۰ و ۲۳). بنابراین، باید تمهیدی انجام شود تا بتوان ناحیه‌ی جذب اکسید روی را از ناحیه‌ی فرابنفش به ناحیه‌ی نور مرئی تغییر داد. بازسازی ساختار اکسید روی با اکسید مواد دیگر، می‌تواند باند گپ انرژی آن را کاهش و جذب در ناحیه مرئی را با افزایش جذب فوتون‌ها، افزایش داده و در نتیجه، فعالیت فتوکاتالیستی آن را در نور مرئی

مقطور شسته و در دمای ۱۰۰ درجه سانتیگراد به مدت ۳ ساعت در فور خشک شد.

طراحی و ساخت راکتور آزمایش: راکتور فتوکاتالیستی استفاده شده در مطالعه‌ی شیرزاد سینی و همکاران، در حذف فسفات به کار گرفته شد(۲۷). محلول درون راکتور به طور مداوم با هم زن مغناطیسی(Singapore H1-190 M) هم زده شد. لامپ LED با توان ۱۵ وات با طول موج بیشینه ۶۰۰ نانومتر نیز از شرکت نمانور آسیا تهیه و به عنوان منبع تشعشع استفاده شد.

روش آزمایش و آنالیز: برای تهیه محلول استوک فسفات برپایه کتاب روش‌های استاندارد برای آزمایش آب و فاضلاب دستور کار شماره‌ی p-۴۵۰۰ از نمک کاملاً محلول پتاسیم دی هیدروژن فسفات (KH₂PO₄) به صورت روزانه و از آب مقطور دو بار تقطیر و برای تنظیم pH از اسیدکلریدریک و سود یک نرمال استفاده(۲۹) و تمام آزمایش‌ها در زمان واکنش ۲ ساعت انجام شد. برای آغاز آزمایش‌های فتوکاتالیستی، نخست محلول حاوی نانوکامپوزیت و فسفات در تاریکی قرارداده شد و پس از ۳۰ دقیقه به تعادل رسید. پس از تعادل، لامپ LED روشن شد. در مدت زمان مشخص، ml ۱۰ از محلول را نمونه‌گیری کرده و برای جداسازی فتوکاتالیست از آن، در rpm ۴۰۰۰ به مدت ۱۰ دقیقه سانتریفیوژ شد. غلظت باقیمانده‌ی فسفات توسط دستگاه اسپکتروفوتومتر (UV/VIS, DR 5000) در طول موج ۶۹۰ نانومتر براساس کتاب روش‌های استاندارد برای آزمایش آب و فاضلاب تعیین شد(۲۹).

پس از سنتز نانوکامپوزیت اسید روی پوشش داده شده بر روی کائولین، برای تعیین گروه‌های عاملی، آنالیز (FT-IR Fourier Transform Infrared Spectroscopy X-ray diffraction (XRD)، برای تعیین شکل و اندازه‌ی نانو ذرات، آنالیز Scanning Electron Microscope (SEM) موجود در نانوکامپوزیت، آنالیز Energy-(EDX) dispersive X-ray spectroscopy، بررسی ویژگی‌های سطح مواد کاتالیست و آزمایش pH_{pzc} انجام شد. نتایج هم

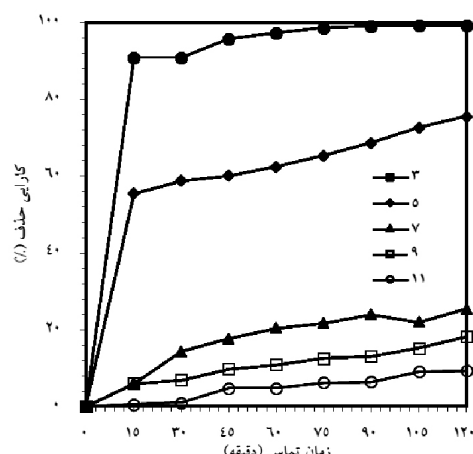
فتوکاتالیستی بالا و بازیافت آسان، انجام شده است. نانو ذرات اکسید روی زمانی که با کائولین پوشش داده شوند را به سهولت می‌توان از محلول جداسازی کرد و به راستی تشکیل این نانوکامپوزیت، می‌تواند مشکل کاربرد نانو ذرات اکسید روی در حذف آلاینده‌ها را از میان بردارد(۲۷).

بنابراین، در این تحقیق نانوکامپوزیت اکسید روی_کائولین سنتز شد. سپس، تأثیر متغیرهای مختلفی هم چون مقدار اولیه‌ی نانوکامپوزیت، غلظت اولیه‌ی فسفات، pH اولیه، زمان واکنش، انواع گازها، غلظت اولیه‌ی پراکسید هیدروژن و انواع ترکیبات آلی بر کارآیی حذف فتوکاتالیستی فسفات بررسی شد. افزون بر آن مطالعات سیتیکی با سیتیک درجه‌ی صفر، EEO یک و دو مورد بررسی قرار گرفت و انرژی مصرفی (EEO) برای ارزیابی مقرون به صرفه بودن فرآیند، سنجیده و بررسی شد.

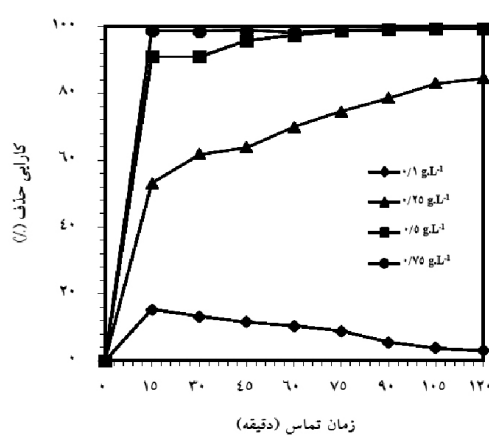
مواد و روش‌ها

تهیه مواد شیمیایی مورد نیاز: کلرید روی(۹۹/۵٪)، سدیم هیدروکسید، پتاسیم دی هیدروژن فسفات، کلرور استانو، مولیبدات آمونیوم و گلیسرول از شرکت مرک آلمان تهیه و بدون هیچ خالص‌سازی استفاده و نمونه‌ی کائولین از شرکت تاجران پیشگان نمونه (I.T.M) Ideal Trades Men تهیه شد.

سنتز نانوکامپوزیت اکسید روی پوشش داده شده بر کائولین: نمونه‌ی کائولین با آب مقطور شسته شد و در دمای ۱۰۰ درجه سانتیگراد به مدت ۳ ساعت در فور خشک و سپس الک شد. اندازه‌ی ذرات ۴۵ میلیمتر و روش هم رسوبی برای آماده‌سازی فتوکاتالیست اکسید روی_کائولین بکار رفت. محلول کلرید روی(۰/۱ مولار) با اتحلال کلرید روی در آب مقطور و کائولین به کلرید روی در نسبت ۲:۱ تهیه شد. محلول هیدروکسید سدیم به محلول کائولین و کلرید روی که بر همزن قرار گرفته بود، به مدت ۷ ساعت تا رسیدن به محیط قلیایی(pH=۱۲) و تولید رنگ سبز روشن و کامپوزیت ژلاتینی اکسید روی/کائولین افزوده شد. در انتهای نمونه‌ی آماده شده برای حذف ذرات اکسید روی معلق به طور کامل با آب



نمودار ۱. تأثیر pH اولیه بر کارآیی حذف فسفات (غلاظت اولیه فسفات برابر با 20 mgL^{-1} ، مقدار اولیه نانوکامپوزیت برابر با 0.5 gL^{-1})



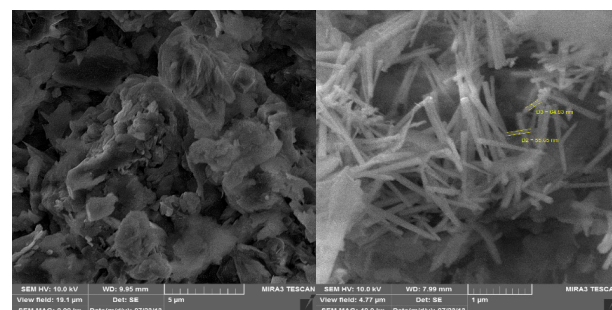
نمودار ۲. تأثیر مقدار اولیه نانوکامپوزیت بر کارآیی حذف فسفات (غلاظت اولیه فسفات برابر با 20 mgL^{-1} ، pH = 3)

تأثیر مقدار اولیه نانوکامپوزیت بر حذف فتوکاتالیستی فسفات: تأثیر مقدار اولیه نانوکامپوزیت بر کارآیی حذف فسفات در مقادیر مختلف نانوکامپوزیت اکسید روی_کائولین (0.1 gL^{-1} , 0.5 gL^{-1} , 1.0 gL^{-1} , 5.0 gL^{-1}) در شرایط ثابت غلاظت اولیه فسفات برابر 20 mgL^{-1} و pH اولیه برابر ۳، در زمان‌های تماس مختلف بررسی شد. نتایج این بررسی در نمودار (۲) نشان داده شده است. با توجه به این نمودار دیده می‌شود وقتی مقدار اولیه نانوکامپوزیت از 0.1 gL^{-1} به 0.5 gL^{-1} افزایش یافت، کارآیی حذف فسفات از 99.38% به 99.31% افزایش یافت. به طور کلی، افزایش مقدار اولیه نانوکامپوزیت، سبب افزایش کارآیی حذف فسفات شد. در ادامه آزمایش‌ها برای کارآیی حذف فسفات، در مقدار اولیه نانوکامپوزیت برابر 0.5 gL^{-1} انجام شد.

آنالیزها در مطالعه شیرزاد سینی و همکاران نشان داده شده است(۲۷).

نتایج

تعیین ویژگی‌های نانوکامپوزیت اکسید روی پوشش داده شده بر روی کائولین: آنالیز SEM: تصویر SEM کائولین و نانوکامپوزیت اکسید روی_کائولین در شکل (۱) نشان داده شده است. توزیع اندازه‌ی قطر متوسط اکسید روی نشان داد که بیشتر نانو ذرات اندازه‌ای بین ۷۰ تا ۸۰ نانومتر دارند. افرون بر آن اندازه‌ی طول ذرات از ۳۰۰ تا ۱۰۰۰ نانومتر است، اما بیشتر آنها در محدوده‌ی ۴۰۰ تا ۵۰۰ نانومتر با فراوانی حدود ۴۱٪ قرار دارند(۲۷).



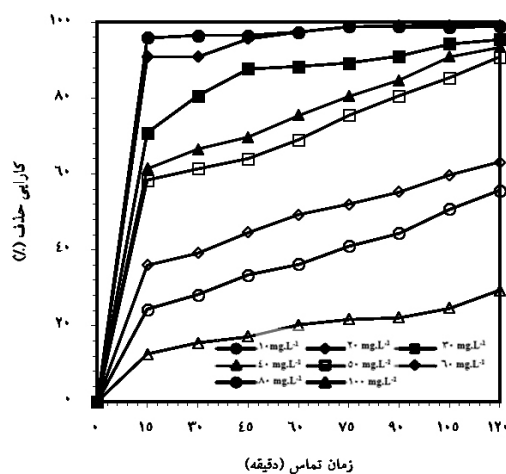
شکل ۱. تصویر SEM از نمونه‌ها: (الف): کائولین (ب): نانوکامپوزیت اکسید روی پوشش داده شده بر روی کائولین (۲۷)

تأثیر متغیرها (مطالعات سیتیکی و انرژی مصرفی)
تأثیر pH اولیه بر حذف فتوکاتالیستی فسفات: در این مطالعه، محلول‌های مورد نظر با pH های اولیه (۳, ۵, ۷, ۹, ۱۱) از محلول استوک ساخته شد. سپس، متغیرهای دیگر در برگیرنده غلاظت اولیه فسفات برابر 20 mgL^{-1} و مقدار اولیه نانوکامپوزیت برابر 0.5 gL^{-1} ثابت در نظر گرفته شد و در زمان‌های تماس مختلف نمونه برداری شد. نتایج تأثیر این متغیر در نمودار (۱) نشان داده شده است. با توجه به این نمودار می‌توان دید که با افزایش pH از ۳ به ۱۱، کارآیی حذف فسفات از ۹۹.۲۷٪ به ۹۹.۳۶٪ کاهش یافت. بنابراین، pH بهینه برای حذف فسفات ۳ تعیین شد.

مقدار انرژی مصرفی (E_{EO}) برای ارزیابی مقرون به صرفه بودن فرآیند، محاسبه و بررسی و نشان داده شد که انرژی مصرفی برای فرآیند اکسید روی-کائولین نور مرئی ($17/54 \text{ kWh. m}^{-3}$) کمتر از فرآیندهای اکسیدروی/نورمرئی (kWh. m^{-3}) ($221/70 \text{ kWh. m}^{-3}$)، کائولین نور مرئی ($180/11 \text{ kWh. m}^{-3}$) و نور مرئی ($169/91 \text{ kWh. m}^{-3}$) است. کلیه معادله‌ها در مطالعه‌ی پیشین گزارش شده است (۲۷).

تأثیر غلظت اولیه‌ی پراکسید هیدروژن بر کارآیی حذف فتوکاتالیستی فسفات: تأثیر غلظت اولیه‌ی پراکسید هیدروژن بر کارآیی حذف فسفات در غلظت‌های مختلف پراکسید هیدروژن برابر ($1, 2, 5, 10, 15, 20, 50 \text{ mM}$)، در شرایط ثابت غلظت اولیه‌ی فسفات برابر (20 mgL^{-1} ، $\text{pH}=3$) و اولیه برابر 3 و مقدار اولیه‌ی نانوکامپوزیت برابر (0.5 gL^{-1}) بررسی شد. نتایج این بررسی، در نمودار (۴) نشان داده شده است. همان طور که در این نمودار، دیده می‌شود، کارآیی حذف فسفات در شرایط بدون استفاده از پراکسید هیدروژن، برابر $99/27\%$ بود. با افزایش غلظت اولیه‌ی هیدروژن پراکسید از 2 mM تا 5 mM کارآیی حذف تا $98/96\%$ کاهش یافت و سپس از غلظت برابر با 10 mM ، کارآیی حذف افزایش یافته و در غلظت برابر با 50 mM به 100% رسید.

تأثیر تغییر غلظت اولیه‌ی فسفات بر کارآیی حذف فتوکاتالیستی: تأثیر غلظت اولیه‌ی فسفات بر کارآیی حذف فتوکاتالیستی آن در سیستم مورد مطالعه، با تغییر غلظت اولیه برابر ($1, 2, 5, 10, 20, 40, 80, 100 \text{ mgL}^{-1}$) در شرایط ثابت مقدار اولیه‌ی نانوکامپوزیت برابر 0.5 gL^{-1} و pH اولیه برابر 3 در زمان‌های تماس مختلف بررسی شد. نتایج این بررسی در نمودار (۳) نشان داده شده است. براساس نتایج با افزایش غلظت اولیه‌ی فسفات از 10 mgL^{-1} به 100 mgL^{-1} ، کارآیی حذف از $99/01\%$ به $29/32\%$ کاهش یافت.

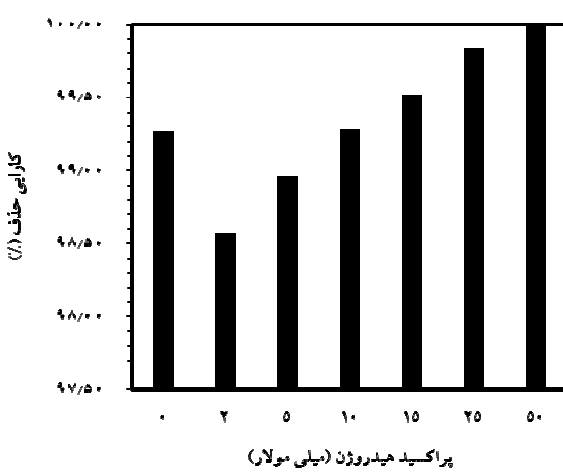


نمودار ۳: تأثیر غلظت اولیه‌ی فسفات بر کارآیی حذف آن ($\text{pH}=3$)، مقدار اولیه‌ی نانوکامپوزیت برابر با 0.5 gL^{-1}

مطالعات سیتیکی و انرژی مصرفی: مطالعات سیتیکی با سیتیک درجه‌ی صفر، یک و دو بررسی شد (جدول ۱).

جدول ۱. متغیرهای سیتیکی در حذف فتوکاتالیستی فسفات در غلظت‌های اولیه‌ی متفاوت فسفات (مقدار اولیه‌ی نانوکامپوزیت برابر با 0.5 gL^{-1} و $\text{pH}=3$)

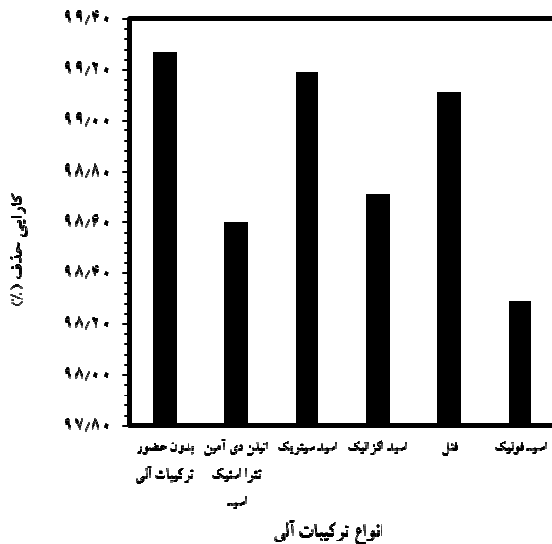
E_{EO} (kWh. m^{-3})	R^2	درجه یک		غلظت
		K_{obs}^{-1} min	K_{obs} (min^{-1})	
۱۵۸/۹۴۰	۰/۹۲۳۷	۱۶/۵۵۶	۰/۰۶۰۴	۱۰
۲۲۳/۲۵۵	۰/۹۱۲۳	۲۳/۲۵۵	۰/۰۴۳	۲۰
۴۷۰/۵۸۸	۰/۸۲۶۳	۴۹/۰۱۹	۰/۰۲۰۴	۳۰
۵۰۰	۰/۹۳۸۵	۵۲/۰۸۳	۰/۰۱۹۲	۴۰
۵۳۹/۳۲۵	۰/۹۲۳	۵۶/۱۷۹	۰/۰۱۷۸	۵۰
۱۲۱۵/۱۸۹	۰/۸۷۹۲	۱۲۶/۵۸۲	۰/۰۰۷۹	۶۰
۵۸۸/۹۵۷	۰/۴۸۳۵	۶۱/۳۴۹	۰/۰۱۶۳	۸۰
۴۵۷۱/۴۲۸	۰/۷۶۰۲	۴۷۶/۱۹	۰/۰۰۲۱	۱۰۰



نمودار ۴: تأثیر غلظت اولیه‌ی پراکسید هیدروژن بر کارآیی حذف فسفات (غلظت اولیه‌ی فسفات برابر با 20 mgL^{-1} ، مقدار اولیه‌ی نانوکامپوزیت برابر با 0.5 gL^{-1} و $\text{pH}=3$ و زمان تماس برابر با 120 دقیقه)

تأثیر گازهای اکسیژن و نیتروژن بر کارآیی حذف فتوکاتالیستی فسفات : تأثیر دو گاز اکسیژن و نیتروژن بر

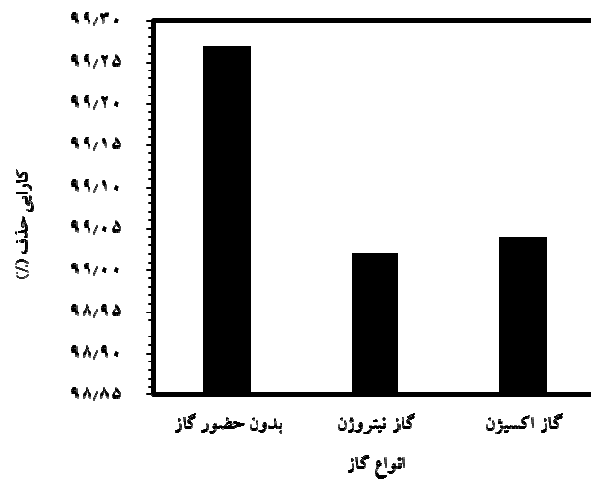
آلی، ۹۹/۲۷٪)، در حضور اسید فولیک، ۹۸/۲۹٪، اتیلن دی‌آمین تراستیک اسید، ۹۸/۶٪، اسید اگزالیک، ۹۸/۷۱٪، فل، ۹۹/۱۱٪ و اسید سیتریک، ۹۹/۱۹٪ بود.



نمودار ۶. تأثیر انواع ترکیبات آلی بر کارآیی حذف فسفات (غلاظت اولیه فسفات برابر با 20 mgL^{-1} ، مقدار اولیه نانوکامپوزیت برابر با 0.5 gL^{-1} و زمان تماس برابر با ۱۲۰ دقیقه)

مقایسه تأثیر فرآیندهای مختلف بر کارآیی حذف فتوکاتالیستی فسفات : پتانسیل فرآیندهای مختلف (نور مرئی، کائولین/ نور مرئی، اکسیدروی، اکسیدروی/ نور مرئی، اکسیدروی_کائولین، اکسیدروی_کائولین/ نور مرئی) بر کارآیی حذف فسفات در شرایط ثابت غلاظت اولیه فسفات برابر با 20 mgL^{-1} ، مقدار اولیه نانوکامپوزیت برابر با 0.5 gL^{-1} و $\text{pH}=3$ اولیه برابر با 3 در زمان های تماس مختلف بررسی شد. همان طور که در نمودار(۷) مشاهده می شود، کارآیی حذف فرآیندهای نور مرئی، کائولین، اسید روی، اکسید روی_کائولین، کائولین/ نور مرئی، اسید روی/ نور مرئی، اسید روی_کائولین/ نور مرئی به ترتیب برابر با $۹۹/۲۷$ ٪، $۹۸/۳۵$ ٪، $۹۸/۴۰$ ٪، $۹۸/۱۵$ ٪، $۹۸/۱۱$ ٪ و $۹۸/۳۷$ ٪ بود. حذف فتوکاتالیستی فسفات از نمونه آب شرب: برای ارزیابی کارآیی نانوکامپوزیت اکسید روی پوشش داده شده بر روی کائولین در حضور نور مرئی در حذف فسفات از نمونه آب شرب، از آب آشامیدنی سیستم توزیع شهر رشت، نمونه گرفته شد و سپس 20 mgL^{-1} فسفات و مقدار 0.5 gL^{-1} نانوکامپوزیت به آن افزوده و در زمان های

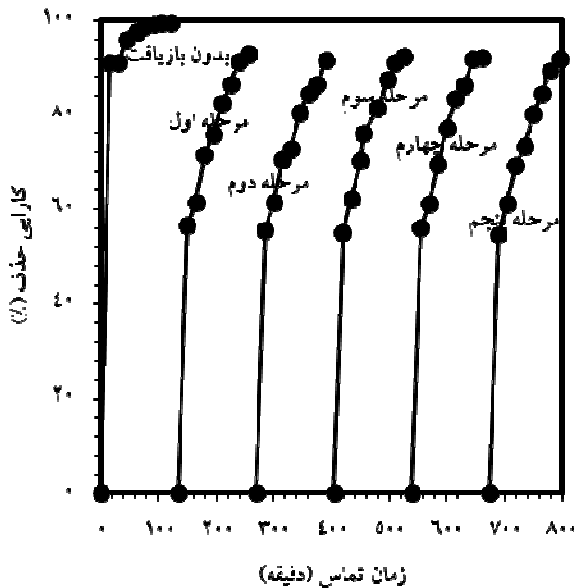
کارآیی حذف فسفات در سیستم مورد مطالعه، در شرایط ثابت غلاظت اولیه فسفات برابر با 20 mgL^{-1} ، مقدار اولیه نانوکامپوزیت برابر با 0.5 gL^{-1} اولیه برابر با 3 و نرخ جریان اکسیژن و نیتروژن برابر با $2\text{ L}\cdot\text{min}^{-1}$ ، در زمان های تماس مختلف بررسی شد. نتایج تاثیر این متغیر در نمودار(۵) نشان داده شده است. همان طور که در این نمودار مشاهده می گردد، کارآیی حذف در حضور این دو گاز کاهش یافت. در شرایط محیطی، کارآیی حذف برابر با $۹۹/۲۷$ ٪ بود، اما این مقدار در حضور گاز اکسیژن و نیتروژن به ترتیب به $۹۹/۰۴$ ٪ و $۹۹/۰۲$ ٪ رسید.



نمودار ۵. تأثیر انواع گاز (اکسیژن و نیتروژن) بر کارآیی حذف فسفات (غلاظت اولیه فسفات برابر با 20 mgL^{-1} ، مقدار اولیه نانوکامپوزیت برابر با 0.5 gL^{-1} و $\text{pH}=3$ و زمان تماس برابر با ۱۲۰ دقیقه)

تأثیر ترکیبات آلی مختلف بر کارآیی حذف فتوکاتالیستی فسفات : برای بررسی تأثیر ترکیبات آلی مختلف بر کارآیی حذف فسفات در سیستم مورد مطالعه، آزمایش در حضور ترکیبات آلی مختلف (اسید فولیک، اسید سیتریک، اتیلن دی‌آمین تراستیک اسید، اسید اگزالیک و فل) با غلاظت اولیه برابر با 20 mgL^{-1} در شرایط ثابت غلاظت اولیه فسفات برابر با 0.5 gL^{-1} ، مقدار اولیه نانوکامپوزیت برابر با 0.5 gL^{-1} و $\text{pH}=3$ در زمان های تماس مختلف بررسی شد. نتایج حاصل از تأثیر این پارامتر، در نمودار(۶) نشان داده شده است. همان طور که در این نمودار مشاهده می گردد، کارآیی حذف در حضور انواع ترکیبات آلی، کاهش یافت و درصد حذف در حالت نبودن ترکیبات

آزمایش‌های پیشین تنها با آب مقطر احیا شد و سپس آزمایش‌های مربوطه برای حذف فسفات در شرایط بهینه که شامل غلظت اولیه‌ی فسفات برابر با 20 mgL^{-1} ، مقدار اولیه‌ی نانوکامپوزیت برابر با 0.5 gL^{-1} و $\text{pH}=3$ است، برای ۵ چرخه پیاپی در زمان‌های تماس مختلف بررسی شد. همان طور که در نمودار(۹) مشاهده می‌شود، کارآیی حذف برای سیکل اول $92/74\%$ ، سیکل دوم $70/43\%$ ، سیکل سوم $93/74\%$ ، سیکل چهارم $92/24\%$ و سیکل پنجم $93/24\%$ بدست آمد.

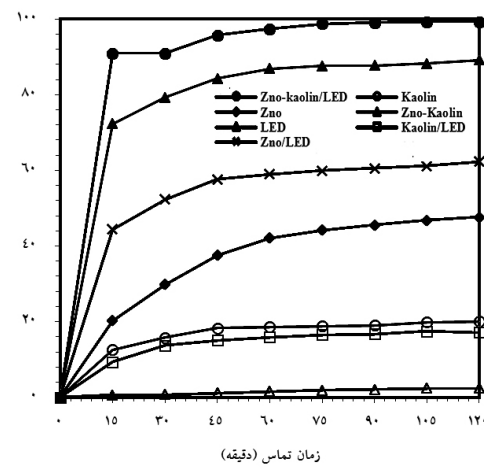


نمودار ۹. کارآیی نانوکامپوزیت بازیافت شده بر کارآیی حذف فسفات (غلظت اولیه‌ی فسفات برابر با 20 mgL^{-1} ، مقدار اولیه‌ی نانوکامپوزیت برابر با 0.5 gL^{-1} و $\text{pH}=3$)

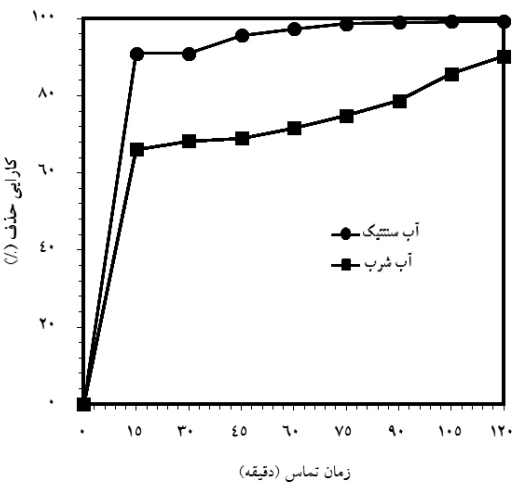
بحث و نتیجه‌گیری

تصویر ۱-الف نشان می‌دهد که کائولین خالص با ساختار متخلخل خود، سطح مناسبی برای حمایت از ثبت اکسید روی دارد. به علاوه از تصویر ۱-ب می‌توان نتیجه‌گرفت که تثبیت نانوذرات اکسید روی بر سطح کائولین به خوبی انجام شده است. نانوذرات اکسیدروی دارای توزیع یکسان اندازه، قطر و ساختار هموژن بر سطح کائولین هستند. نتایج حاصله با مطالعه‌ی دکتوار و همکاران در سال ۲۰۱۵ آماده‌سازی و تعیین خواص ضدباکتریایی اکسیدروی_کائولین و مطالعه‌ی جانی کوا و همکاران در سال ۲۰۱۷ کامپوزیت فعل نوری

تماس مختلف، نمونه‌برداری شد. نتایج کارآیی حذف در نمودار(۸) نشان داده شده است. همان طور که در این نمودار مشاهده می‌گردد، کارآیی حذف فسفات در نمونه‌ی آب آشامیدنی در مقایسه با نمونه‌ی سنتیک، کاهش یافت. به طور کلی، کارآیی حذف برای آب شهری برابر $97/31\%$ و برای آب مقطر $99/27\%$ بدست آمد.



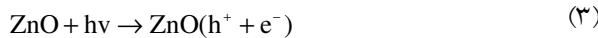
نمودار ۷. تأثیر فرآیندهای مختلف بر کارآیی حذف فسفات (غلظت اولیه‌ی فسفات برابر با 20 mgL^{-1} ، مقدار اولیه‌ی نانوکامپوزیت برابر با 0.5 gL^{-1} و $\text{pH}=3$)



نمودار ۸. حذف فسفات از نمونه‌ی آب شرب با استفاده از نانوکامپوزیت اکسید روی-کائولین (غلظت اولیه‌ی فسفات برابر با 20 mgL^{-1} و مقدار اولیه‌ی نانوکامپوزیت برابر با 0.5 gL^{-1})

بررسی تأثیر نانوکامپوزیت بازیافت شده بر کارآیی حذف فتوکاتالیستی فسفات: برای بررسی کارآیی نانوکامپوزیت بازیافت شده برای استفاده‌ی دوباره آن در فرآیندهای فتوکاتالیستی، نانوکامپوزیت‌های گردآوری شده از

اولیه‌ی فسفات کاهش یافت. دلیل آن احتمالاً ثابت بودن محل‌های فعال بر سطح فتوکاتالیست در برابر افزایش تعداد مولکول‌های فسفات یا به بیان دیگر، اشباع شدن سطح فتوکاتالیست اکسیدروی_کائولین در غلظت‌های بالای آلاند است(۲۷). طی مطالعه لی و همکاران در سال ۲۰۰۹ حذف فسفات از پساب ثانویه با Fe^{3+} به همراه پراکسید هیدروژن در pH خنثی، مشخص شد که با افزایش غلظت اولیه‌ی فسفات، راندمان حذف آن کاهش یافت(۳۶). همچنین، نتایج حاصله با مطالعه‌ی هو و همکاران حذف فسفات از محیط‌های آبی با استفاده از کامپوزیت سریوم کیتوزان(۳۷) و با مطالعه‌ی کریستان و همکاران در سال ۲۰۰۸ حذف فسفات از محیط‌های آبی و فاضلاب با استفاده از جاذب طبیعی پوست نارگیل مطابقت دارد(۳۲). همان طور که در نمودار(۴) دیده می‌شود، کارآیی حذف فسفات با افزایش غلظت پراکسید هیدروژن، کاهش و سپس افزایش یافت. در توجیه این فرآیند این گونه می‌توان توضیح داد که طبق معادله‌ی(۳) در باند هدایت سطح اکسید روی در حضور نور مرئی فرابنفش در ابتدا حفره الکترون‌هایی ایجاد می‌شود.



در مرحله‌ی بعد، طبق معادله‌ی(۴)، الکترون‌های تولید شده، مسئول تجزیه‌ی فسفات و اکسید شدن آب و تولید اکسیژن توسط واکنش با حفره‌های ایجاد شده هستند.



طبق معادله‌ی(۵)، الکtron در محلول به عنوان رسانیده‌ی حفره و منبع تولید پراکسید هیدروژن است که پراکسید هیدروژن تولید شده، فسفات را کاهش می‌دهد.



اما از آنجایی که میزان H_2O_2 تولیدی کم است، می‌توان با افزودن پراکسید هیدروژن به محلول، کارآیی حذف فتوکاتالیستی را افزایش داد(۳۸). در مطالعه‌ی سو و همکاران در سال ۲۰۱۲ حذف فسفات و مونواتانول آمین (MEA) طی فرآیند بستر سیال فتون نشان داده شد که افزایش غلظت پراکسید هیدروژن، تولید رادیکال‌های هیدروکسیل را افزایش داد(۳۹). دانشور و همکاران در سال ۲۰۰۸ تأثیر غلظت پراکسید هیدروژن، بر کارآیی حذف اسید اورنج ۷ را در

اکسیدروی_کائولین آماده شده از طریق کلینیشن سدیم روی کربنات_مطابقت دارد(۳۰-۳۱).

کارائی حذف فسفات با افزایش pH، کاهش یافت. بالاتر بودن بازدهی در pHهای اسیدی طبق معادله‌ی(۱)، می‌تواند به دلیل جاذبه‌ی الکترواستاتیکی بین مولکول‌های با بار منفی فسفات و سطح با بار مثبت فتوکاتالیست باشد، همچنین، در pHهای پایین یون H^+ بر سطح فتوکاتالیست افزایش می‌باید ($\text{pH} < \text{pH}_{\text{PZC}}$ ، اما با افزایش pH، اکسید روی طبق معادله‌ی (۲)، به صورت معکوس شارژ شده و ممکن است که فسفات، از سطح با بار منفی فتوکاتالیست، دفع شود. به بیان دیگر، دافعه‌ی الکترواستاتیک بین یون‌های فسفات و مولکول‌های اکسید روی رخ می‌دهد و سبب کاهش راندمان حذف فسفات می‌شود(۱۱). کریستان و همکاران طی مطالعه‌ای حذف فسفات از محیط‌های آبی و فاضلاب با استفاده از پوست نارگیل مشخص کردند که pH بهینه در حذف فسفات از این محیط‌ها، برابر ۳ است(۳۲).



کارآیی حذف فسفات با افزایش مقدار اولیه‌ی نانو کامپوزیت از $0/1 \text{ gL}^{-1}$ به $0/75 \text{ gL}^{-1}$ ، افزایش یافت. چون اختلاف درصد کارآیی حذف بین غلظت $0/5 \text{ gL}^{-1}$ و $0/75 \text{ gL}^{-1}$ جزئی($11/0\%$) بود، غلظت بهینه‌ی نانوکامپوزیت برابر با $0/5 \text{ gL}^{-1}$ در نظر گرفته شد. افزایش کارآیی حذف فسفات، به دلیل افزایش سطح در دسترس یا به عبارتی، افزایش جایگاه‌های فعال در سطح می‌شود. بنابراین، تعداد رادیکال‌های هیدروکسیل و سوپر اکسید افزایش می‌باید و در نتیجه، امکان برخورد بیشتر مولکول‌های فسفات با نانوکامپوزیت بوجود آمده که سبب افزایش واکنش‌های تجزیه می‌شود(۳۳ و ۳۴). در مطالعه‌ی سانیتا و همکاران نانوکامپوزیت اکسید روی_کربن در حذف فتوکاتالیستی اسید بلو -113 کارآیی حذف رنگ با افزایش غلظت نانوکامپوزیت، افزایش یافت(۳۵). همچنین، نتایج حاصله با مطالعه‌ی شیرزاد سیبی و همکاران حذف فتوکاتالیستی فلز کروم شش ظرفیتی با استفاده از نانومیله‌های اکسید روی ثبت شده بر روی کائولین مطابقت دارد(۲۷). کارائی حذف با افزایش غلظت

همان طور که در نمودار(۸) مشاهده شد، کارآیی حذف فسفات در نمونه سنتیک بالاتر از نمونه آب شهری بود. طی مطالعه‌ی واسودوان و همکاران در سال ۲۰۰۸ مطالعه بر روی حذف فسفات از آب آشامیدنی توسط فرآیند الکتروکوآگولاسیون از فرآیند الکتروکوآگولاسیون برای حذف فسفات از آب آشامیدنی استفاده شد(۴۵). همچنین طی مطالعه‌ی اسکندری و همکاران در سال ۲۰۱۴ شناسایی و مبارزه با رشد جلبکی در منابع آب با استفاده از نانوذرات اکسید روی به حذف فسفات و نیترات در منابع آب (سد یامچی اردبیل) و در نتیجه مبارزه با رشد جلبکی با استفاده از نانوذرات اکسید روی پرداختند(۶). همان طور که در نمودار(۹) مشاهده شد، کارآیی حذف فسفات با نانوکامپوزیت بازیافتی بعد از ۵ بار تکرار با سیکل اول برابر بود و می‌توان نتیجه گرفت که نانوکامپوزیت اکسید روی_کائولین توان استفاده‌ی دوباره را دارد. طی مطالعه‌ی کوزووا و همکاران در سال ۲۰۰۶ بازیافت فسفات از طریق جاذب هیدروتالسیت کارکرد جذب و احیای دانه‌های هیدروتالسیت با موفقیت انجام گرفت(۷).

در مطالعه‌ی حاضر، نانوکامپوزیت اکسید روی پوشش داده شده بر روی کائولین به روش هم رسوی سنتز شده و کارآیی آن در تجزیه‌ی فتوکاتالیستی فسفات از محیط‌های آبی بررسی شد. آنالیزهای FT-IR, XRD, SEM, EDX, pH=۳، غلظت اولیه‌ی فسفات برابر با 20 mgL^{-1} و مقدار اولیه‌ی نانوکامپوزیت برابر 0.5 gL^{-1} است، میزان ۹۹٪ از فسفات در مدت زمان ۱۲۰ دقیقه حذف شد. سینتیک واکنش با معادله‌ی درجه‌ی یک توصیف شد. نتایج نشان داد که با افزایش مقدار اولیه‌ی نانوکامپوزیت تا 1 gL^{-1} ، کارآیی حذف افزایش یافت، اما با افزایش غلظت اولیه‌ی فسفات، کارآیی حذف کاهش یافت. ضریب ثابت سینتیکی درجه‌ی یک با افزایش غلظت اولیه‌ی فسفات از 10 mgL^{-1} به ۱۰۰ از 1 min^{-1} به ۰.۰۲۱٪، کاهش و مقدار انرژی مصرفی از $158/940\text{ kWh.m}^{-3}$ به $4571/428\text{ kWh.m}^{-3}$ افزایش یافت. همچنین، نتایج نشان داد که کارآیی حذف در حضور انواع ترکیبات آلی کاهش یافت. روی هم رفته، نتایج آزمایش‌ها

سیستم UV/ZnO/H₂O₂ و UV/ZnO بررسی کردند. نتایج نشان داد که اضافه کردن پراکسید هیدروژن با غلظت بیش از 10 mM ، کارآیی حذف اسید اورنج ۷ را به بیش از ۹۰٪ افزایش داد(۴۰). براساس نتایج دیده شده در نمودار(۵) مشخص شد که کارآیی حذف در حضور گاز اکسیژن و نیتروژن کاهش یافت که علت آن، تولید حباب‌هایی در راکتور است که این حباب‌ها ممکن است سبب برخورد و در نتیجه تعامل کمتر بین ذرات فسفات و رادیکال‌های هیدروکسیل تولید شده شوند و در نتیجه سبب کاهش راندمان حذف شدن(۴۰). افرون بر آن علت اصلی کاهش کارآیی حذف در ZnO حضور گاز اکسیژن، آن است که در واکنش O_2 با رادیکال آزاد بیشتری تولید شده است و در حضور اکسیژن، اکسید روی تمايل بيشتری به واکنش با اکسیژن داشته و در نتیجه باعث کاهش واکنش اکسید روی با یون فسفات شده و در پایان، کارائی حذف کاهش می‌یابد(۴۱). همان طور که در نمودار(۶) مشاهده می‌شود، کارائی حذف در حضور انواع ترکیبات آلی، کاهش یافت که علت آن، جذب مولکول‌های فسفات به سطح مواد آلی و در واقع کاهش جذب آن بر سطح فتوکاتالیست است(۴۰). همچنین، تداخل اثر جذب مولکول‌های آلی بر سطح فتوکاتالیست نسبت به اکسیدان‌های اضافی، سبب کاهش راندمان حذف فسفات می‌گردد(۴۲). طی مطالعه‌ی چن و همکاران در سال ۱۹۷۲ جذب فسفات به آلومینا و کائولینت از محلول‌های آبی جذب فسفات بر روی آلومینا و کائولینت در غلظت‌های پایین و در طف گستردگی pH و در حضور انواع آنیون‌ها و کاتیون‌های خارجی مانند مواد آلی انجام شد و مشخص گردید که جذب فسفات در حضور اسید هیومیک، اسید اگزالیک، اسید سیتریک و اتیلن دی‌آمین تترا استیک اسید کاهش یافت(۴۳). همان طور که در نمودار(۷) مشاهده گردید، به طور کلی کارائی فرآیند اکسیدروی_کائولین نورمرئی، از همه‌ی فرآیندها بیشتر بود. طی مطالعه‌ی ملکوتیان و همکاران در سال ۲۰۱۷ حذف فسفر از محلول‌های آبی به وسیله‌ی فرآیند اکسیداسیون فتوون نتایج نشان داد که فرآیند فتوون قادر به حذف ۹۷٪ فسفر بود و این فرآیند، از لحاظ میزان کارائی حذف و هزینه، مقرون به صرفه‌تر از فرآیندهای دیگر در حذف این آلاینده است(۴۴).

این مقاله حاصل طرح تحقیقاتی مصوب دانشگاه علوم پزشکی و خدمات بهداشتی درمانی گیلان با کد طرح ۹۵۰۹۲۰۱۰ است. بدین وسیله از معاونت محترم تحقیقات و فناوری دانشگاه علوم پزشکی و خدمات بهداشتی درمانی گیلان و مرکز تحقیقات بهداشت و محیط زیست دانشگاه علوم پزشکی و خدمات بهداشتی درمانی گیلان به خاطر پشتیبانی مالی از این پژوهش و فراهم کردن امکانات لازم، کمال تشکر را داشته و سپاسداری می‌شود.

نشان داد نانوکامپوزیت اکسیدروی پوشش داده شده بر کائولین، به دلیل فعالیت فتوکاتالیستی بالا، پایداری نوری خوب و جداسازی ثقلی آسان، می‌تواند به طور گسترده، به عنوان فتوکاتالیست به ویژه در تصفیه‌ی آب و فاضلاب به کار برده شود.

سپاسگزاری و سپاسداری

منابع

- De-Bashan LE, Bashan Y. Recent advances in removing phosphorus from wastewater and its future use as fertilizer (1997–2003). *Water Research* 2004;38: 4222-4246.
- Zeng L, Li X, Liu J. Adsorptive removal of phosphate from aqueous solutions using iron oxide tailings. *Water Research* 2004; 38: 1318-1326.
- Tanada S, Kabayama M, Kawasaki N, Sakiyama T, Nakamura T, Araki M, et al., Removal of phosphate by aluminum oxide hydroxide. *Journal of Colloid and Interface Science* 2003; 257:135-140.
- Huang W, Wang S, Zhu Z, Li L, Yao X, Rudolph V, et al. Phosphate removal from wastewater using red mud. *Journal of Hazardous Materials*. 2008; 158: 35-42.
- Deng L, Shi Z. Synthesis and characterization of a novel Mg-Al hydrotalcite-loaded kaolin clay and its adsorption properties for phosphate in aqueous solution. *Journal of Alloys and Compounds* 2015; 637: 188-196.
- Bektaş N, Akbulut H, Inan H, Dimoglo A. Removal of phosphate from aqueous solutions by electro-coagulation. *Journal of Hazardous Materials* 2004; 106: 101-105.
- Kuzawa K, Jung Y-J, Kiso Y, Yamada T, Nagai M, Lee T-G. Phosphate removal and recovery with a synthetic hydrotalcite as an adsorbent. *Chemosphere* 2006; 62: 45-52.
- Li Y, Liu C, Luan Z, Peng X, Zhu C, Chen Z, et al. Phosphate removal from aqueous solutions using raw and activated red mud and fly ash. *Journal of Hazardous Materials* 2006; 137: 374-383.
- Guo S, Zhang G, Wang J. Photo-Fenton degradation of rhodamine B using Fe2O3-Kaolin as heterogeneous catalyst: Characterization, process optimization and mechanism. *Journal of Colloid and Interface Science* 2014; 433: 1-8.
- Ahmad M, Ahmed E, Hong Z, Xu J, Khalid N, Elhissi A, et al. A facile one-step approach to synthesizing ZnO/graphene composites for enhanced degradation of methylene blue under visible light. *Applied Surface Science* 2013; 274:273-281.
- Pardeshi S, Patil A. A simple route for photocatalytic degradation of phenol in aqueous zinc oxide suspension using solar energy. *Solar Energy* 2008; 82: 700-705.
- Saravanan R, Karthikeyan S, Gupta V, Sekaran G, Narayanan V, Stephen A. Enhanced photocatalytic activity of ZnO/CuO nanocomposite for the degradation of textile dye on visible light illumination. *Materials Science and Engineering: C*, 2013; 33: 91-98.
- Pawar RC, Lee CS. Single-step sensitization of reduced graphene oxide sheets and CdS nanoparticles on ZnO nanorods as visible-light photocatalysts. *Applied Catalysis B: Environmental* 2014; 144: 57-65.
- Lu Y, Lin Y, Wang D, Wang L, Xie T, Jiang T. A high performance cobalt-doped ZnO visible light photocatalyst and its photogenerated charge transfer properties. *Nano Research* 2011; 4: 1144-1152.
- Wang J, Wang Z, Huang B, Ma Y, Liu Y, Qin X, et al., Oxygen vacancy induced band-gap narrowing and enhanced visible light photocatalytic activity of ZnO. *ACS Applied Materials & Interfaces* 2012; 4: 4024-4030.
- Cihlářová M, Kutláková KM, Foldyna V, Seidlerová J. Stability of photoactive composite kaolinite/zno.
- Lin H-F, Liao S-C, Hung S-W. The dc thermal plasma synthesis of ZnO nanoparticles for visible-light photocatalyst. *Journal of photochemistry and photobiology A: Chemistry* 2005; 174: 82-87.
- Peng F, Wang H, Yu H, Chen S. Preparation of aluminum foil-supported nano-sized ZnO thin films and its photocatalytic degradation to phenol under visible light irradiation. *Materials Research Bulletin* 2006; 41: 2123-2129.
- Liu W, Wang M, Xu C, Chen S, Fu X. Ag3PO4/ZnO: An efficient visible-light-sensitized composite with its application in photocatalytic degradation of Rhodamine B. *Materials Research Bulletin* 2013; 48: 106-113.
- Pardeshi S, Patil A. Effect of morphology and crystallite size on solar photocatalytic activity of zinc oxide synthesized by solution free mechanochemical method. *Journal of Molecular Catalysis A: Chemical* 2009; 308: 32-40.

21. Ma S, Zhan S, Jia Y, Zhou Q. Superior antibacterial activity of Fe3O4-TiO2 nanosheets under solar light. *ACS Applied Materials & Interfaces* 2015; 7: 21875-21883.
22. Dong F, Sun Y, Fu M, Wu Z, Lee S. Room temperature synthesis and highly enhanced visible light photocatalytic activity of porous BiOI/BiOCl composites nanoplates microflowers. *Journal of Hazardous Materials* 2012; 219:26-34.
23. Rehman S, Ullah R, Butt A, Gohar N. Strategies of making TiO₂ and ZnO visible light active. *Journal of Hazardous Materials* 2009; 170: 560-569.
24. Saravanan R, Shankar H, Prakash T, Narayanan V, Stephen A. ZnO/CdO composite nanorods for photocatalytic degradation of methylene blue under visible light. *Materials Chemistry and Physics* 2011;125:277-280.
25. David C, Arivazhagan M, Ibrahim M. Spent wash decolourization using nano-Al₂O₃/kaolin photocatalyst: Taguchi and ANN approach. *Journal of Saudi Chemical Society* 2015; 19: 537-548.
26. Panda AK, Mishra BG, Mishra DK, Singh RK. Effect of sulphuric acid treatment on the physico-chemical characteristics of kaolin clay. *Colloids and Surfaces A: Physicochemical and Engineering Aspects* 2010;363:98-104.
27. Shirzad-Siboni M, Farrokhi M, Darvishi Cheshmeh Soltani R, Khataee A, Tajassosi S. Photocatalytic reduction of hexavalent chromium over ZnO nanorods immobilized on kaolin. *Industrial & Engineering Chemistry Research* 2014;53: 1079-1087.
28. Janíková B, Neuwirthová L, Matějová L, Matějka V. Preparation and characterization of the composites based on the zinc oxide captured on the surface of kaolinite,
29. American Public Health Association, American Water Works Association, Water Environment Federation.. Standard methods for the examination of water and wastewater .American Public Health Association ;1995:1915.
30. Janíková B, Tokarský J, Kutláková KM, Kormunda M, Neuwirthová L. Photoactive and non-hazardous kaolin/ZnO composites prepared by calcination of sodium zinc carbonate. *Applied Clay Science* 2017; 143: 345-353.
31. Dědková K, Janíková B, Matějová K, Peikertová P, Neuwirthová L, Holešinský J, et al. Preparation, characterization and antibacterial properties of ZnO/kaoline nanocomposites. *Journal of Photochemistry and Photobiology B: Biology* 2015;148: 113-117.
32. Krishnan KA, Haridas A. Removal of phosphate from aqueous solutions and sewage using natural and surface modified coir pith. *Journal of Hazardous Materials* 2008; 152: 527-535.
33. Saleh R, Djaja NF. UV light photocatalytic degradation of organic dyes with Fe-doped ZnO nanoparticles, *Superlattices and Microstructures*. 2014; 74: 217-233.
34. Mohammadzadeh S, Olya M, Arabi A, Shariati A, Nikou MK. Synthesis, characterization and application of ZnO-Ag as a nanophotocatalyst for organic compounds degradation, mechanism and economic study. *Journal of Environmental Sciences* 2015;35: 194-207.
35. Sunitha S, Rao AN, Karthikeyan J, Krithiga T, editors. ZnO/carbon nano composite: Effective catalyst for the photo degradation of Acid Blue 113. AIP Conference Proceedings; 2013: AIP.
36. Li C, Ma J, Shen J, Wang P. Removal of phosphate from secondary effluent with Fe²⁺ enhanced by H₂O₂ at nature pH/neutral pH. *Journal of Hazardous Materials* 2009;166:891-896.
37. Hu P, Liu Q, Wang J, Huang R. Phosphate removal by Ce (III) impregnated crosslinked chitosan complex from aqueous solutions. *Polymer Engineering & Science* 2017; 57: 44-51.
38. Assadi A, Dehghani MH, Rastkari N, Nasseri S, Mahvi AH. Photocatalytic reduction of hexavalent chromium in aqueous solutions with zinc oxide nanoparticles and hydrogen peroxide. *Environment Protection Engineering* 2012; 38: 5-16.
39. Su C-C, Chen C-M, Anotai J, Lu M-C. Removal of monoethanolamine and phosphate from thin-film transistor liquid crystal display (TFT-LCD) wastewater by the fluidized-bed Fenton process. *Chemical Engineering Journal* 2013; 222: 128-135.
40. Daneshvar N, Aber S, Hosseinzadeh F. Study of CI acid orange 7 removal in contaminated water by photo oxidation processes. *Global NEST Journal* 2008; 10:16-23.
41. Samarghandi M, Farrokhi M, Shirzad-Siboni M. Photocatalytic removal of hexavalent chromium from aquatic solution by using of zinc oxide (zno) nanoparticle in aerobic and anaerobic condition: Kinetic study. *Journal of Guilian University of Medical Sciences* 2014; 22: 1-10.
42. Yang J, Lee S, Siboni MS. Effect of different types of organic compounds on the photocatalytic reduction of Cr (VI). *Environmental Technology* 2012; 33: 2027-2032.
43. Chen Y-SR, Butler JN, Stumm W. Adsorption of phosphate on alumina and kaolinite from dilute aqueous solutions. *Journal of Colloid and Interface Science* 1973; 43: 421-436.
44. Malakootian M, Heidari M, Asadi F. Removal of phosphorus from aqueous solution by fenton oxidation process. *JOURNAL OF ENVIRONMENTAL SCIENCE AND TECHNOLOGY* ; 19(2):63 - 72.
45. Vasudevan S, Sozhan G, Ravichandran S, Jayaraj J, Lakshmi J, Sheela M. Studies on the removal of phosphate from drinking water by electrocoagulation process. *Industrial & Engineering Chemistry Research* 2008; 47: 2018-2023.
46. Skandari M, Dehestani-athar S, Abdollahinejad B, KHayatrostami B. Identification and combat the growth of algae in water resources using zinc oxide nanoparticles. *Water and Sewage* 2016; 27: 13-18.

Synthesis of Zinc Oxide-Kaolin Nanocomposite and Its Efficiency In the Photocatalytic Removal of Phosphate From Aqueous Solutions In the Presence of Visible Light Irradiation

Hooshmand Rada S (MSc)¹- Shirzad-Sibonib M (PhD)^{1,2}- *Mohagheghianb A (PhD)^{1,2}

*Corresponding Address: Health and Environmental Research Center, School of Health, Guilan University of Medical Sciences, Rasht, Iran

Email: mohagheghian@yahoo.com

Received: 25/Jul/2017 Revised: 24/Sep/2017 Accepted: 12/Nov/2017

Abstract

Introduction: The amount of phosphate in wastewater, lakes and seas are progressively on the rise. Since this nutrient is an essential macromolecule and a limiting factor for the growth of algae and cyanobacteria, thus, it could be a major factor in the occurrence of eutrophication.

Objective: The purpose of this study was to synthesize zinc oxide nanocomposite coating on the kaolin and determine its efficiency in photocatalytic removal of phosphate from aqueous environments in the presence of visible light.

Materials and Methods: ZnO-Kaolin was synthesized by a co-precipitation method and the effects of some parameters such as initial pH, initial nanocomposite dosage, initial phosphate concentration, hydrogen peroxide concentration, the presence of oxygen and nitrogen gases, and organic compounds on the removal of phosphate by ZnO-Kaolin/ visible light were investigated.

Results: FT-IR and SEM analyses demonstrated favorable immobilization of ZnO onto Kaolin. The maximum removal efficiency of photocatalytic was attained in pH 3, initial concentration of phosphate 20 mgL⁻¹ and nanocomposite dosage 0.5 gL⁻¹ in 120 minutes. With increasing initial phosphate concentrations from 10 to 100 mgL⁻¹, the reaction rate constant (k_{obs}) decreased from 0.0604 to 0.0021 min⁻¹ and electrical energy per order (E_{Eo}) increased from 158.940 to 4571.428 kWh.m⁻³. The efficiency of the zinc oxide – kaolin/ visible light process for reduction of phosphate was about 99.27%.

Conclusion: According to the carried out tests, it was found that zinc oxide-kaolin/ visible light can be considered as an effective method for removing phosphate with high performance in a short time.

Conflict of interest: non declared

Key words: Synthesis\ Zinc Oxide-Kaolin Nanocomposite\ Phosphate\ Visible Light

Journal of Guilan University of Medical Sciences, No: 104, Pages: 50-61

Please cite this article as: Hooshmand rada S, Shirzad-Sibonib M, Mohagheghianb A. Synthesis of Zinc Oxide-Kaolin Nanocomposite and Its Efficiency In the Photocatalytic Removal of Phosphate From Aqueous Solutions In the Presence of Visible Light Irradiation. J of Guilan Univ of Med Sci 2017; 26(104):50-61. [Text in Persian]

1. Department of Environmental Health Engineering, School of Health, Guilan University of Medical Sciences, Rasht, Iran

2. Health and Environmental Research Center, School of Health, Guilan University of Medical Sciences, Rasht, Iran